

## ДАЛЬНОДЕЙСТВУЮЩАЯ ФОКУСИРОВКА

Е.М. Мороз, К.Н. Шорин

*При чередовании значений показателя магнитного поля в секторах слабофокусирующего рейстрекса допустимо увеличение длин прямолинейных промежутков, свободных от фокусирующих линз.*

В слабофокусирующем рейстрексе с  $N$  периодами магнитной структуры требование устойчивости бетатронных колебаний по  $z$  и  $r$  приводит к ограничению длины  $l$  прямолинейного промежутка (см., напр., /1/):

$$0 < l < 2R/\kappa \operatorname{tg}(\pi\kappa/N), \quad \kappa = \kappa_{z,r}, \quad \kappa_z = \sqrt{n}, \quad \kappa_r = \sqrt{1-n}. \quad (1)$$

Здесь  $r$  — радиус кривизны орбиты в секторах;  $n$  — показатель спада магнитного поля ( $0 < n < 1$ ). Ограничение длины  $l$  при  $n > 0,5$  связано с пределом устойчивости вертикальных, а при  $n < 0,5$  радиальных бетатронных колебаний. Максимальная длина  $l$  допустима при выборе  $n = 0,5$ , что соответствует неопасному в синхротроне или накопителе резонансу связи (совпадению частот вертикальных и радиальных бетатронных колебаний  $\omega_z = \omega_r$ ). На рис. 1 представлены полученные по формуле (1) зависимости предельных значений отношения  $l/r$  от показателя  $n$  для различных значений  $N$ , указанных цифрами на кривых. Условие (1) обычно не вызывало затруднений при проектировании синхротронов и накопителей заряженных частиц, поскольку выбираемые по конструктивным соображениям отношения  $l/r$  не превышали 0,4, а показатель поля выбирался вблизи  $n = 2/3$ .

Появление сверхпроводящих магнитов позволяет уменьшить радиус  $r$  в три и более раз, тогда как современные потребности размещения аппаратуры на пучке циркулирующих частиц приводят к необходимости иметь длинные свободные прямолинейные промежутки.

Применение жесткой фокусировки ( $|n| > 1$ ) не приводит к увеличению допустимой длины  $l$ . Традиционным способом преодоления ограничения (1) является размещение квадрупольных линз в промежутках между секторами. Однако при этом промежутки дробятся на короткие свободные участки.

Исследование движения частиц в слабофокусирующих магнитных системах типа рейстрексов показало, что допустимое значение отношения  $l/r$  увеличивается при чередовании значений  $n$ . Пусть, например,  $N$  — четное,  $n = n_1$  в нечетных секторах и  $n = n_2$  в четных ( $0 < n_1 < 1$ ,  $0 < n_2 < 1$ ). Тогда вместо (1) получим две пары неравенств

$$0 < l/r < \operatorname{MIN}(a,b), \quad \operatorname{MAX}(a,b) < l/r < 1/\kappa_1 t_1 + 1/\kappa_2 t_2, \quad (2)$$

где

$$a = 1/\kappa_1 t_1 - t_2/\kappa_2, \quad b = 1/\kappa_2 t_2 - t_1/\kappa_1, \quad t_{1,2} = \operatorname{tg}(\pi\kappa_{1,2}/N), \quad (3)$$

$\kappa_1 = \kappa_{z,1} = n_1^{1/2}$ ,  $\kappa_2 = \kappa_{z,2} = n_2^{1/2}$  для вертикальных,  $\kappa_1 = \kappa_{r,1} = (1 - n_1)^{1/2}$ ,  $\kappa_2 = \kappa_{r,2} = (1 - n_2)^{1/2}$  для радиальных бетатронных колебаний; определение функций  $\operatorname{MAX}$  и  $\operatorname{MIN}$ :

$$\operatorname{MAX}(a,b) = a, \quad \text{если } a \geq b; \quad \operatorname{MAX}(a,b) = b, \quad \text{если } b > a;$$

$$\operatorname{MIN}(a,b) = a, \quad \text{если } a \leq b; \quad \operatorname{MIN}(a,b) = b, \quad \text{если } b < a.$$

Очевидно, что при выборе  $n_2 = 1 - n_1$  вертикальные и радиальные колебания при заданных значениях  $n_1$  и  $l/r$  либо неустойчивы одновременно, либо одновременно устойчивы, и тогда  $\omega_z = \omega_r$ . На рис. 2 пред-

ставлены полученные по формулам (2), (3) при  $n_2 = 1 - n_1$  зависимости граничных значений отношения  $l/r$  от показателя  $n_1$ . Цифрами на кривых указано количество секторов  $N$ . Для любых четных значений  $N$ , кроме  $N = 2$ , имеются две области устойчивости, разделенные областями неустойчивости и сливающиеся при  $n_1 = 0,5$ ; для  $N = 2$  существует только одна область устойчивости. Рассмотрим примеры.

1.  $N = 4$ . Из графика рис. 1 для  $n_1 = n_2 = n = 0,2$  имеем  $0 \leq l/r \leq 2,65$ . Диапазон  $l/r$  можно расширить до  $0 \leq l/r \leq 4,5$ , выбирая  $n_1 = n_2 = n = 0,5$ . При чередовании показателей поля  $n_1 = 0,2, n_2 = 1 - 0,2 = 0,8$  получаем по графикам рис. 2 два диапазона  $l/r$ :  $0 \leq l/r \leq 0,5$  и  $5,2 \leq l/r \leq 7,5$ .

2.  $N = 2$ . При  $n_1 = n_2 = n = 0,2$  из графика рис. 1 имеем  $0 \leq l/r \leq 0,35$ . При отсутствии чередования показателей поля, согласно графику рис. 1, диапазон  $l/r$  можно расширить до  $0 \leq l/r \leq 1,45$  выбором  $n_1 = n_2 = n = 0,5$ , тогда как при чередовании показателей поля выбирая  $n_1 = 0,2, n_2 = 1 - n_1 = 0,8$ , имеем из графика рис. 2 диапазон  $0 \leq l/r \leq 2,9$ .

3. Для  $n_1 = 0,1$  и  $n_2 = 1 - n_1 = 0,9$  имеем при  $N = 2$  диапазон  $0 \leq l/r \leq 6$ , а при  $N = 4$  два диапазона  $l/r$ :  $0 \leq l/r \leq 0,4$  и  $11,5 \leq l/r \leq 13,7$ .

Пример 3 представляет интерес для протонных ускорителей или накопителей, а предыдущие — и для электронных.

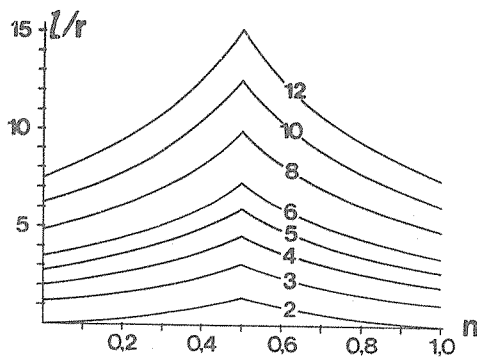


Рис. 1

Рис. 1. Зависимость предельных значений отношения  $l/r$  от показателя спадания поля  $n$  для различных  $N$  при  $n_1 = n_2 = n$ .

Рис. 2. Зависимости граничных значений  $l/r$  от  $n_1$  для различных  $N$  при  $n_2 = 1 - n_1$ .

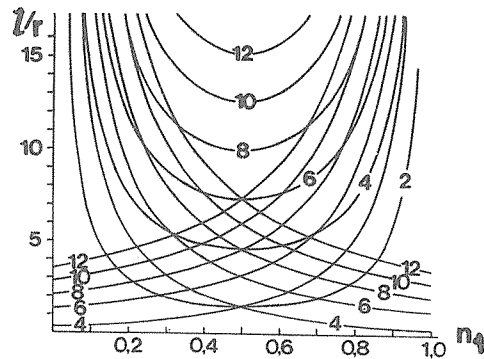


Рис. 2

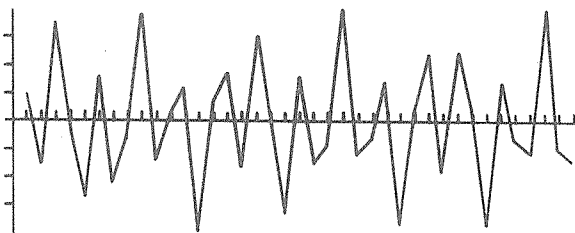


Рис. 3

Рис. 3. Ход луча в модели дальнедействующей фокусировки с параметрами  $f_2 = 2f_1, l = 5f_1$ .

Допуски на параметры фокусирующей системы являются более строгими в рассмотренной далекодействующей системе по сравнению с обычной слабой фокусировкой и сравнимы с допусками в сильнофокусирующих магнитных системах. Бетатронные колебания частиц в далекодействующей системе похожи на биения, в них отчетливо просматривается наличие двух частот.

Сильно упрощенной моделью рассмотренной далекодействующей фокусировки частиц может служить система чередующихся тонких линз с фокусирующими силами  $1/f_1$  и  $1/f_2$  ( $1/f_1 > 1/f_2$ ), разделенных расстояниями  $l$ . Для такой системы существует два диапазона расстояний  $l$ , при которых возможно устойчивое распространение пучка лучей в направлении оси системы:

$$0 < l < 2f_1, \quad 2f_2 < l < 2(f_1 + f_2). \quad (4)$$

В модели сильной фокусировки ( $f_1 = f > 0, f_2 = -f$ ) второй диапазон (диапазон дальнего действия) исчезает, а в модели обычной слабой фокусировки (см., напр., /2/)  $f_1 = f_2 = f > 0$  оба диапазона (4) сливаются в единый диапазон  $0 < l < 4f$ .

Для иллюстрации "биений" на рис. 3 изображен ход луча в модели далекодействующей системы  $f_2 = -2f_1, l = 5f_1$ .

#### ЛИТЕРАТУРА

1. Коломенский А. А. Физические основы методов ускорения заряженных частиц. М., МГУ, 1980, с. 304.
2. Брук Г. Циклические ускорители заряженных частиц. М., Атомиздат, 1970, с. 312.

Поступила в редакцию 15 мая 1986 г.